

논문 2008-45SD-3-4

# Shannon Capacity에 근접하는 고효율의 6-ary Runlength-Limited Code

( Very Efficient 6-ary Runlength-Limited Code Approaching Shannon  
Capacity for Optical Storage Channels )

지 윤 규\*

( Yoon Kyoo Jhee )

요 약

고효율의  $d = 3$ 인 6-ary runlength-limited code를 연구하였다. Rate가 6/7일 경우 98.87%의 효율을 얻을 수 있었고 rate가 13/15일 경우 Shannon capacity에 근접하는 무려 99.95%의 효율을 얻을 수 있었다. 또한 6-ary RLL code를 효과적으로 검출하기 위한 partial response mode에 관하여 고찰하였다.

Abstract

Very efficient 6-ary runlength-limited codes for a six-level optical recording channel are presented when  $d = 3$ . The 6-ary(3, 15) code of rate 6/7 is given achieving coding efficiency of 98.87%. The efficiency of rate 13/15, (3, 20) code is 99.95%, which approaches the Shannon capacity. To increase the accuracy of reading 6-ary signal, partial response modes are also investigated.

**Keywords :** code efficiency, Shannon capacity, optical recording, runlength-limited code

## I. 서 론

광 기록 장치는 디스크의 표면에 "pits" 또는 "lands"로 나타내는 이진 상태를 주로 사용하여 왔다. 이 방법은 미디어의 포화상태를 이용한 것이다. 이러한 이진 기록 대신에 multilevel(ML) 기록 방법을 사용하면 coding density를 높여 정보의 전달 속도를 현저히 증가시킬 수 있다. 예를 들자면 eight recording level을 사용하면 3 bit/stored-symbol이 되어 포화상태를 이용한 1 bit보다 정보전달 능력이 향상된다. 이 장점을 살려서 6-ary (2, 4) code가 Optex Communications Corp.에서 개발되었다<sup>[1]</sup>.

( $d, k$ ) runlength-limited(RLL) encoder로부터 생성된 연속된 M-ary 신호는 0이 아닌 symbol 사이에  $d$ 개 이상 그리고  $k$ 개 이하의 0들이 있어야 한다.  $d$ 개의 제한 조건은 intersymbol interference(ISI)를 방지하기 위한 것이고  $k$ 개의 제한 조건은 timing signal을 추출해내기 위하여 필요한 것이다. Timing recovery 회로의 신호처리 기술이 발전함에 따라  $k$ 값의 제한이 많이 완화되었다.

RLL code를 구성하기 위하여 일반적으로 state splitting/merging 방법을 많이 사용한다. 이는  $m/n = R \leq C$ 를 만족하는 양의 정수  $m$ 과  $n$ 가 존재하면 state splitting /merging 방법으로 sliding block decoder를 갖는 finite state encoder를 항상 구성할 수 있다는 정리에 기인한다<sup>[2]</sup>.  $R$ 값을 constraint capacity  $C$ 의 값에 근접하게 설계하면 code efficiency  $e = R/C$ 를 높일 수 있다.

\* 정회원, 이화여자대학교 전자정보통신학전공  
(Dept. of Information Electronics Engineering,  
Ewha Womans University)  
접수일자: 2007년9월17일, 수정완료일: 2008년3월15일

그러나 state splitting/merging 방법에 사용되는 approximate eigenvector는 encoder size의 upper bound를 느슨하게 설정한다. 이 미흡함을 보완하기 위하여 specific encoder structure에 적용되는 부등식을 사용할 수 있다. 이를 이용하여 binary channel의 경우  $d=1$  과 2일 때 설계하였고<sup>[3]</sup> 3-ary signal의 경우에는  $d=2$  일 때 구성하였다<sup>[4]</sup>. 이 방법은  $k$ 의 제한이 유동적인 경우에 매우 효과적이다.

본 논문에서는 위의 방법을 확장하여  $d=3$  일 경우 매우 효율적인 6-ary RLL code를 구성하였다. 이는 state splitting/merging 방법을 이용한 6-ary(3, 8)의 결과<sup>[1]</sup>와 비교할 때 code efficiency를 97%에서 code rate가 6/7일 경우 98.87%로 높일 수 있었고 code rate가 13/15일 경우는 무려 99.95%까지 높여 Shannon capacity에 근접하는 6-ary RLL code를 설계할 수 있었다. 또한 6-ary RLL code를 효과적으로 검출하기 위한 partial response mode에 관하여 고찰하였다. II WKD에서는  $d=3$  일 경우 6-ary RLL code를 설계하는 방법을 설명하고 IIIWKD에서 결론을 맺는다.

## II. 효율을 증가시키는 6-ary $d=3$ RLL code의 설계

ML (M-ary) recording channel은 disk에 "marks"의 폭(width)과 강도(intensity)로 나타낸다. 강도는 M개의 level로 나누어 사용하고 폭은 최소 폭( $T_{min}$ )과 최대 폭( $T_{max}$ ) 사이의 discrete한 값으로 취한다. 여기서  $T_{min} = (d+1)T_s$ 이고  $k > d$ 인 조건에서  $T_{max} = (k+1)T_s$ 를 나타내며  $1/T_s$ 는 signaling rate를 의미한다.

Shannon capacity (constraint capacity)  $C = \log_2 \lambda$ 로 정의되며  $\lambda$ 는 다음 특성방정식의 가장 큰 실수 근이다.

$$z^{k+2} - z^{k+1} - (M-1)z^{k-d+1} + M - 1 = 0 \quad (1)$$

$M=6$ 이고  $d=3$ 인 조건에서 효율적인 code를 작성하기 위하여  $R = m/n$  값의 변화에 따른 효율을 계산하여 <표 1>에 나타내었다.  $k$ 가 충분히 큰 값이라고 가정하고 이 조건에서 구한 constraint capacity  $C(3, \infty) = \log_2 \lambda = \log_2^{1.8240} = 0.8671$ 이다.

Density ratio  $D$ 는 다음 식으로 정의 된다.

$$D = \frac{(1+d)R}{T_{min}} \quad (\text{bits}/T_{min}) \quad (2)$$

본 논문의 경우  $d=3$ 이고 효율을 높이기 위하여 설계한  $R = m/n = 6/7$ 과  $R = 13/15$ 인 경우 각각  $D = 3.4286 \text{ bits}/T_{min}$ 과  $D = 3.4667 \text{ bits}/T_{min}$ 이다.

도달할 수 있는 가장 큰 density  $D_C = \frac{(1+d)C}{T_{min}} \geq D$ 로 표시된다. Code efficiency  $e = R/C = D/D_C$ 로 정의되고 code가 이룰 수 있는 가장 큰 density에 근접하는 척도를 나타낸다<sup>[1]</sup>.

<표 1>의 결과를 참조하여  $n$ 값이 비교적 작고 효율이 높은  $R = 6/7$ 과  $R = 13/15$ 의 경우에 대하여 각각 설계하도록 한다. 우선  $R = 6/7$ 의 경우  $k$ 의 조건은 일단 무시하고  $d=3$ 의 제한조건을 만족시키는 finite-state encoder를 설계한다. Codeword는  $d=3$ 의 조건을 만족하며 길이가  $n=7$ 인 6-ary symbol로 구성한다. 이 codeword 들은 또한  $E_{000000}, E_{000X00}, E_{0000X0}, E_{00000X}, E_{00X000}, E_{00XX00}, E_{00X0X0}, E_{00X00X}, E_{0X0000}, E_{0X0X00}, E_{0X00X0}, E_{0X000X}, E_{X00000}, E_{X0000X}$ 의 16개 codeword subset으로 나누는데 이는  $d=3$ 의 조건을 만족시키는 code를 구하기 위하여 구성한 subset이다. 여기서  $X$ 는 1, 2, 3, 4 또는 5 중 하나의 값을 나타낸다. 각 codeword subset의 아래첨자 6개의 symbol은 codeword 앞의 3개와 뒤의 3개를 각각 나타낸다. Encoder는  $r$ 개의 state를 지니고 있다고 가정하고 네 가지 형태의 state subset으로 나눈다. 각 state subset에 속해있는 state의 수를 각각  $r_1, r_2, r_3$ 와  $r_4 (= r - r_1 - r_2 - r_3)$ 로 정의한다. 16개

표 1. 각 R값에 따른 효율성 비교  
Table 1. Code efficiency for the various R.

m	n	R=m/n	$\frac{C(3, \infty) - R}{C(3, \infty)} \times 100$
5	6	0.8333	3.898 %
6	7	0.8571	1.153 %
11	13	0.8462	2.410 %
13	15	0.8667	0.046 %
16	19	0.8421	2.883 %
17	20	0.8500	1.972 %
19	22	0.8636	0.473 %
23	27	0.8519	1.750 %
25	29	0.8621	0.577 %

의 codeword subset에 속해있는 각 codeword들은 네 가지 형태의 state subset으로 구분된다. 네 가지 형태의 state subset들은 다음과 같다. 첫 번째 형태의 state subset에 속해있는 codeword들은 "000"으로 시작한다. 두 번째 형태의 state subset에 있는 codeword는 "000" 또는 "00X"로 시작한다. 세 번째 형태의 state subset에 속해있는 codeword들은 "000" 또는 "00X" 또는 "0X0"로 시작한다. 또한 네 번째 형태의 state subset에 속해있는 codeword들은 "000" 또는 "00X" 또는 "0X0" 또는 "X00"로 시작한다. 이를 그림 1의 화살표 우측에 나타내었다.

State-transition은  $d = 3$ 의 조건을 만족하기 위하여 다음의 rule을 따른다. 그림 1의 좌측에서 보여주듯이  $E_{000000}, E_{00.X000}, E_{0.X0000}, E_{X00000}$ 와 같이 "000"으로 끝나는 codeword들은  $r$ 개의 모든 encoder next state로 연결될 수 있다. "X00"( $E_{000.X00}, E_{00.XX00}, E_{0.X0.X00}, E_{X00.X00}$ )로 끝나는 codeword는 네 번째 형태의 next state(NS)에 이어질 수 없다.

"0X0"( $E_{0000.X0}, E_{00.X0.X0}, E_{0.X00.X0}, E_{X000.X0}$ )로 끝나는 codeword는 세 번째와 네 번째 형태의 NS에 이어질 수 없다. 같은 방법으로 "00X"( $E_{00000.X}, E_{00.X00.X}, E_{0.X000.X}, E_{X0000.X}$ )로 끝나는 codeword는 오직 첫 번째 형태의 NS로만 이어진다.

NS가 다르면 동일한 codeword에 다른 information word를 할당할 수 있다. 즉,  $E_{000000}, E_{00.X000}, E_{0.X0000}, E_{X00000}$ 와 같이 "000"으로 끝나는 codeword

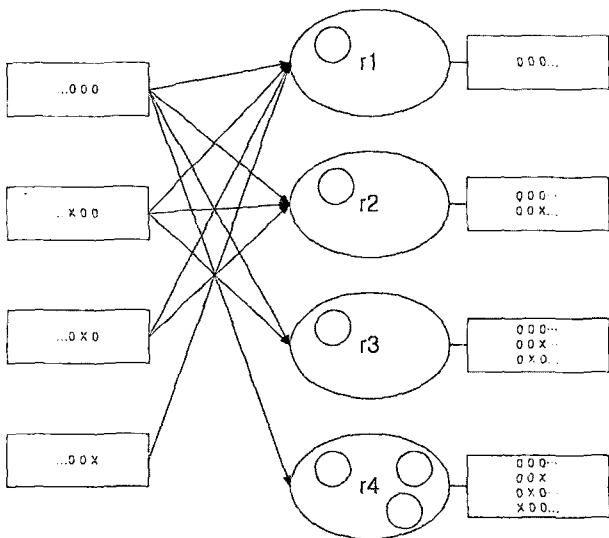


그림 1.  $n = 7$ 인 경우 encoder의 transition 방법  
Fig. 1. Encoder transition rule( $n = 7$ ).

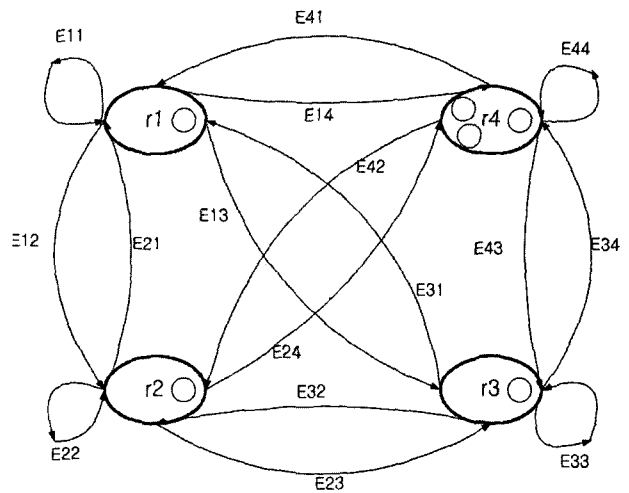


그림 2.  $n = 7$ 인 경우 state간의 transition diagram  
Fig. 2 M-ary state transition diagram( $n = 7$ ).

는 모든  $r$ 개의 NS와 연결될 수 있으므로 서로 다른 information word를  $r = r_1 + r_2 + r_3 + r_4$  배만큼 할당할 수 있다. 또한  $E_{000.X00}, E_{00.XX00}, E_{0.X0.X00}, E_{X00.X00}$ 와 같이 "X00"으로 끝나는 codeword는 네 번째 형태의 NS를 제외한 모든 NS와 연결될 수 있으므로 서로 다른 information word를  $r_1 + r_2 + r_3$  배만큼 할당할 수 있다.  $E_{0000.X0}, E_{00.X0.X0}, E_{0.X00.X0}, E_{X000.X0}$ 와 같이 "0X0"으로 끝나는 codeword의 경우는 첫 번째와 두 번째 형태의 NS와 연결될 수 있으므로  $r_1 + r_2$  배만큼 할당할 수 있다. 같은 방법으로  $E_{00000.X}, E_{00.X00.X}, E_{0.X000.X}, E_{X0000.X}$ 와 같이 "00X"으로 끝나는 codeword의 경우는 첫 번째 형태의 NS로만 연결될 수 있으므로  $r_1$  배만큼 할당할 수 있다. 위의 관계를 state transition diagram으로 나타내면 그림 2가 된다.

그림 2에서

- $E_{11} : E_{000000}, E_{000.X00}, E_{0000.X0}, E_{00000.X}$ ;
- $E_{12} : E_{000000}, E_{000.X00}, E_{0000.X0}$ ;
- $E_{13} : E_{000000}, E_{000.X00}$ ;  $E_{14} : E_{000000}$ ;
- $E_{21} : E_{000000}, E_{000.X00}, E_{0000.X0}, E_{00000.X}, E_{00.X000}$ ;
- $E_{22} : E_{000000}, E_{000.X00}, E_{0000.X0}, E_{00.X000}$ ;
- $E_{23} : E_{000000}, E_{000.X00}, E_{00.X000}$ ;  $E_{24} : E_{000000}, E_{00.X000}$ ;
- $E_{31} : E_{000000}, E_{000.X00}, E_{0000.X0}, E_{00000.X}, E_{0.X0000}, E_{0.X000.X}, E_{00.X000}$ ;
- $E_{32} : E_{000000}, E_{000.X00}, E_{0000.X0}, E_{00.X000}, E_{0.X0000}$ ;
- $E_{33} : E_{000000}, E_{000.X00}, E_{00.X000}, E_{0.X0000}$ ;
- $E_{34} : E_{000000}, E_{00.X000}, E_{0.X0000}$ ;

$$\begin{aligned}
E_{41} &: E_{0000000}, E_{000.X00}, E_{0000.X0}, E_{00000.X}, E_{00.X000}, \\
&\quad E_{0.X0000}, E_{0.X000.X}, E_{X00000}, E_{X0000.X}, E_{X00000.X}; \\
E_{42} &: E_{0000000}, E_{000.X00}, E_{0000.X0}, E_{00.X000}, E_{0.X0000}, \\
&\quad E_{X00000}, E_{X0000.X}; \\
E_{43} &: E_{0000000}, E_{000.X00}, E_{00.X000}, E_{0.X0000}, E_{X00000}; \\
E_{44} &: E_{0000000}, E_{00.X000}, E_{0.X0000}, E_{X00000} \text{ 를 나타낸다.}
\end{aligned}$$

위에서 설명한 encoder model을 기반으로  $R = m/n = 6/7$ 인 6-ary RLL code를 설계하기 위하여 다음 식을 정의한다. 아래 식에서  $|E_{WXYZ}|$ 는  $E_{WXYZ}$ 의 크기 즉 codeword subset에 속해있는 codeword 수를 의미한다.

$$A_1 = r|E_{0000000}| + (r_1 + r_2 + r_3)|E_{000.X00}| + (r_1 + r_2)|E_{0000.X0}| + r_1|E_{00000.X}| \quad (3)$$

$$A_2 = r|E_{00.X000}| + (r_1 + r_2 + r_3)|E_{00.XX00}| + (r_1 + r_2)|E_{00.X0.X0}| + r_1|E_{00.X00.X}| \quad (4)$$

$$A_3 = r|E_{0.X0000}| + (r_1 + r_2 + r_3)|E_{0.X0.X00}| + (r_1 + r_2)|E_{0.X00.X0}| + r_1|E_{0.X000.X}| \quad (5)$$

$$A_4 = r|E_{X00000}| + (r_1 + r_2 + r_3)|E_{X00.X00}| + (r_1 + r_2)|E_{X000.X0}| + r_1|E_{X0000.X}| \quad (6)$$

$d = 3$ 인 제한조건에서  $n = 7$ 인 경우에 codeword subset의 크기를 구하면 다음과 같다.

$$|E_{0000000}| = 6, \quad (7)$$

$$|E_{000.X00}| = |E_{0000.X0}| = |E_{00000.X}| = |E_{00.X000}| = |E_{0.X0000}| = |E_{X00000}| = 5, \quad (8)$$

$$|E_{00.X00.X}| = |E_{0.X00.X0}| = |E_{0.X000.X}| = |E_{X00.X00}| = |E_{X000.X0}| = |E_{X0000.X}| = 25. \quad (9)$$

$$|E_{00.XX00}| = |E_{00.X0.X0}| = |E_{0.X0.X00}| = 0. \quad (10)$$

$m = 6$ 인 경우에 encoder model은 다음 조건을 만족하여야 한다.

$$A_1 \geq r_1 2^m = 64r_1, \quad (11)$$

$$A_1 + A_2 \geq 64(r_1 + r_2), \quad (12)$$

$$A_1 + A_2 + A_3 \geq 64(r_1 + r_2 + r_3), \quad (13)$$

$$A_1 + A_2 + A_3 + A_4 \geq 64(r_1 + r_2 + r_3 + r_4). \quad (14)$$

위에서 구한 값들을 대입하여 정리하면 다음식이 된다.

$$-43r_1 + 16r_2 + 11r_3 + 6r_4 \geq 0 \quad (11)'$$

$$-13r_1 - 43r_2 + 16r_3 + 11r_4 \geq 0 \quad (12)'$$

$$42r_1 - 13r_2 - 43r_3 + 16r_4 \geq 0 \quad (13)'$$

$$122r_1 + 42r_2 - 13r_3 - 43r_4 \geq 0 \quad (14)'$$

(11)' - (14)'를 만족하면서  $r$ 의 값을 최소화하는  $r_1, r_2, r_3, r_4$ 과  $r = r_1 + r_2 + r_3 + r_4$ 를 구하면 다음과 같다.

$$r_1 = r_2 = 2, r_3 = 3, r_4 = 6, r = 13 \quad (15)$$

Code 구성을 위한 다음 과정은 위에서 구한 13개의 state에 codeword를 할당하는 것이다. Trial and error 방법으로 codeword를 할당하기 때문에 다양한 결과를 얻을 수 있고, 한 예를 <표 2>에 나타내었다. <표 2>의  $a \times b$ 에서  $a$ 는 codeword subset에 속해있는 codeword의 수를  $b$ 는 이어서 연결될 수 있는 NS의 수를 나타낸다. <표 2>에서 보여주는 바와 같이 크기가  $5 \times 7$ 인  $E_{000.X00}$ 은 state 2에 22개의 codeword를 할당하고 state 3에 13개의 codeword를 할당한다. 즉, 각 행의 합이 각 codeword subset의 크기와 같도록 할당한다. <표 2>의 state 열에는 실제로 사용한 codeword 개수만을 나타냈기 때문에 각 행의 합이 codeword subset 보다 적은 경우도 있다.

$E_{0000000}, E_{00.X000}, E_{0.X0000}$ 와  $E_{X00000}$  같이 "000"으로 끝나는 각 codeword에는 서로 다른 information word를 이어서 연결할 수 있는 NS의 수 만큼인 13번 할당할 수 있고  $E_{000.X00}$ 와 같이 "X00"로 끝나는 각 codeword에는 서로 다른 information word를 7번 할당할 수 있다. 마찬가지로  $E_{0000.X0}$ 와  $E_{X000.X0}$  같이 "0X0"로 끝나는 codeword에는 서로 다른 information word를 4번 할당할 수 있고  $E_{00000.X}, E_{0.X000.X}$ 와  $E_{X0000.X}$  같이 "00X"로 끝나는 codeword에는 information word를 2번만 할당할 수 있다. State 2에 할당된 총 codeword 수는  $12 + 22 + 20 + 10 = 64 = 2^6$ 이 된다. 나머지 state에 할당되는 codeword 수도 64개 이상이 되도록 구성하여야 한다.

각 state에 필요한 64 codeword 보다 더 많은 여분의 code들이 존재하는 경우 codeword "0000000"의 앞과 뒤에 오는 codeword 중에서 많은 수의 "0"이 연속적으

표 2. 각 codeword subset과 state의 분포( $R = 6/7$ )

Table 2. Distribution of the various codeword subsets and states( $R = 6/7$ ).

	$1(\tau_1)$	$2(\tau_1)$	$3(\tau_2)$	$4(\tau_2)$	$5(\tau_3)$	$6(\tau_3)$	$7(\tau_3)$	$8(\tau_4)$	$9(\tau_4)$	$10(\tau_4)$	$11(\tau_4)$	$12(\tau_4)$	$13(\tau_4)$
$E_{0000000} (6 \times 13)$	64	12	0	0	0	0	0	0	0	0	0	0	0
$E_{000X000} (5 \times 7)$	0	22	13	0	0	0	0	0	0	0	0	0	0
$E_{0000X0} (5 \times 4)$	0	20	0	0	0	0	0	0	0	0	0	0	0
$E_{00000X} (5 \times 2)$	0	10	0	0	0	0	0	0	0	0	0	0	0
$E_{00X0000} (5 \times 13)$			51	14	0	0	0	0	0	0	0	0	0
$E_{00X00X} (25 \times 2)$			0	50	0	0	0	0	0	0	0	0	0
$E_{0X00000} (5 \times 13)$					60	0	0	0	0	0	0	0	0
$E_{0X00X0} (25 \times 4)$					4	64	32	0	0	0	0	0	0
$E_{0X000X} (25 \times 2)$					0	0	32	18	0	0	0	0	0
$E_{X000000} (5 \times 13)$								46	14	0	0	0	0
$E_{X00X000} (25 \times 7)$								0	50	64	61	0	0
$E_{X000X0} (25 \times 4)$								0	0	0	3	64	33
$E_{X0000X} (25 \times 2)$								0	0	0	0	0	31(19)

로 이어지는 여분의 codeword를 제거하여  $k$ 값을 줄인다. 예를 들면 codeword "0000000" 다음에 codeword "0000000"나 "000000X"가 이어지는 것을 방지하도록 구성하여 많은 수의 "0"이 뒤에 나타나지 않도록 한다. 이는 <표 2>의 state 1열에서 output "0000000"일 때, NS 1과 2를 사용하지 않는 것이 된다. 또한  $E_{X000000}$ 과  $E_{0X00000}$ 가 "0000000"으로 이어지는 것을 방지하기 위하여 NS가 1인 여분의 10가지 codeword를 사용하지 않았다. 그 밖에 사용하지 않은 19개의 codeword를 괄호 안에 나타내었으며 필요한 경우에는 이를 이용하여  $X(1, 2, 3, 4 \text{ or } 5)$ 를 포함하는 codeword를 구성할 수 있다. 이런 결과로 state가 13개이며  $k = 15$ 인 13-state 6-ary(3, 15)를 구성할 수 있다. <표 2>에 근거하여 구성한 encoding table은 양이 방대하여 생략한다. 효율이 높은  $R = 6/7$ 인 code의 경우  $d = 3$ 이고  $k = 15$ 이므로  $C = 0.8669$ 이며  $D_C = 3.4676/T_{\min}$ 이고 code efficiency  $e = R/C = 98.87\%$ 가 된다.

다음은 효율이 가장 높은  $R = m/n = 13/15$ 인 6-ary RLL code를 설계한다.  $d = 3$ 인 제한조건에서  $n = 15$ 인 경우에 codeword subset의 크기를 구하면 다음과 같다.

$$|E_{0000000}| = 546, |E_{000X000}| = |E_{00X0000}| = 530,$$

$$|E_{0000X0}| = |E_{0X00000}| = 930,$$

$$|E_{00000X}| = |E_{X000000}| = 1455, |E_{00X0000}| = 400,$$

$$|E_{00X0X0}| = |E_{0X0X000}| = 525,$$

$$|E_{00X00X}| = |E_{X00X000}| = |E_{0X000X0}| = 1275,$$

$$|E_{0X000X}| = |E_{X0000X0}| = 2650, |E_{X0000X}| = 4650,$$

$m = 13$ 인 경우에 encoder model은 다음 조건을 만족하여야 한다.

$$A_1 \geq r_1 2^{13} = 8192r_1,$$

$$A_1 + A_2 \geq 8192(r_1 + r_2),$$

$$A_1 + A_2 + A_3 \geq 8192(r_1 + r_2 + r_3),$$

$$A_1 + A_2 + A_3 + A_4 \geq 8192(r_1 + r_2 + r_3 + r_4).$$

위에서 구한 값들을 대입하여 정리하면 다음식이 된다.

$$-4731r_1 + 2006r_2 + 1076r_3 + 546r_4 \geq 0$$

$$-2001r_1 - 4731r_2 + 2006r_3 + 1076r_4 \geq 0$$

$$3379r_1 - 2001r_2 - 4731r_3 + 2006r_4 \geq 0$$

$$1340r_1 + 3379r_2 - 2001r_3 - 4731r_4 \geq 0$$

위 식들을 만족하면서  $r$ 의 값을 최소화하는  $r_1, r_2, r_3, r_4$ 과  $r = r_1 + r_2 + r_3 + r_4$ 를 구하면 다음과 같다.

$$r_1 = 12, r_2 = 10, r_3 = 18, r_4 = 33, r = 73$$

Code 구성을 위한 다음 과정은 위에서 구한 73개의 state에 codeword를 할당하는 것이다. Trial and error 방법으로 codeword를 할당하기 때문에 다양한 결과를 얻을 수 있다. Codeword를 할당하는 방법은 state의 수가 73개로 증가한 것을 제외하고는 앞의  $R = 6/7$ 인 경

표 3. 각 codeword subset과 state의 분포( $R = 13/15$ )Table 3. Distribution of the various codeword subsets and states( $R = 13/15$ ).

subset	state	1-4( $\tau_1$ )	5( $\tau_1$ )	6-7( $\tau_1$ )	8( $\tau_1$ )	9( $\tau_1$ )	10( $\tau_1$ )	11( $\tau_1$ )	12( $\tau_1$ )
$E_{000000}$	(546 × 73)	8192 × 4	5822	0	0	0	0	0	1095
$E_{000.X00}$	(530 × 140)	0	2370	8192 × 2	2246	0	0	0	200
$E_{0000.X0}$	(930 × 22)	0	0	0	5946	8192	5497	0	825
$E_{00000.X}$	(1455 × 12)	0	0	0	0	0	2695	8192	6072
$E_{00.X000}$	(530 × 73)								
$E_{00.X.X00}$	(400 × 40)								
$E_{00.X0.X0}$	(525 × 22)								
$E_{00.X00.X}$	(1275 × 22)								
subset	state	23-25( $\tau_3$ )	26-28( $\tau_3$ )	29-30( $\tau_3$ )	31-38( $\tau_3$ )	39( $\tau_3$ )	40( $\tau_3$ )	41-46( $\tau_4$ )	47-53( $\tau_4$ )
$E_{0.X0000}$	(930 × 73)	0	0	0	8192 × 8	0	1070(1284)	0	0
$E_{0.X0.X00}$	(525 × 40)	0	0	8192 × 2	0	0	4616	0	0
$E_{0.X00.X0}$	(1275 × 22)	0	8192 × 3	0	0	968	2506	0	0
$E_{0.X000.X}$	(2650 × 12)	8192 × 3	0	0	0	7224	0	0	0
$E_{X00000}$	(1455 × 73)							0	0
$E_{X00.X00}$	(1275 × 40)							0	0
$E_{X000.X0}$	(2650 × 22)							0	8192 × 7
$E_{X0000.X}$	(4650 × 12)							8192 × 6	0

subset	state	13-16( $\tau_2$ )	17( $\tau_2$ )	18( $\tau_2$ )	19( $\tau_2$ )	20( $\tau_2$ )	21( $\tau_2$ )	22( $\tau_2$ )
$E_{000000}$	(546 × 73)	0	0	0	0	0	0	0
$E_{000.X00}$	(530 × 140)	0	0	0	0	0	0	0
$E_{0000.X0}$	(930 × 22)	0	0	0	0	0	0	0
$E_{00000.X}$	(1455 × 12)	0	0	0	0	0	0	485(16)
$E_{00.X000}$	(530 × 73)	8192 × 4	0	0	0	5817	0	0
$E_{00.X.X00}$	(400 × 40)	0	8192	0	0	0	7808	0
$E_{00.X0.X0}$	(525 × 22)	0	0	8192	0	0	0	3358
$E_{00.X00.X}$	(1275 × 22)	0	0	0	8192	2375	384	4349
subset	state	54-59( $\tau_4$ )	60-71( $\tau_4$ )	72( $\tau_4$ )	73( $\tau_4$ )			
$E_{0.X0000}$	(930 × 73)	0	0	0	0			
$E_{0.X0.X00}$	(525 × 40)	0	0	0	0			
$E_{0.X00.X0}$	(1275 × 22)	0	0	0	0			
$E_{0.X000.X}$	(2650 × 12)	0	0	0	0			
$E_{X00000}$	(1455 × 73)	0	8192 × 12	0	6932(979)			
$E_{X00.X00}$	(1275 × 40)	8192 × 6	0	588	1260			
$E_{X000.X0}$	(2650 × 22)	0	0	956	0			
$E_{X0000.X}$	(4650 × 12)	0	0	6648	0			

우와 동일하다. Codeword subset과 state의 분포도는 <표 3>에 나타내었다. 가장 높은 효율을 나타낼 수 있는  $R = 13/15$ 인 경우  $d = 3$ 이고  $k = 20$ 이므로  $C = 0.8671$ 이며  $D_C = 3.4684/T_{\min}$ 이고 code efficiency는 Shannon capacity에 근접하는 무려  $e = R/C = 99.95\%$ 가 된다.

ML-RLL을 효율적으로 검출하기 위하여 partial response(PR) equalizer를 사용한다<sup>[5-6]</sup>.

참고문헌 [5]의 연구결과에 따르면 ML-RLL의 성능 향상을 위하여  $(1 + 2D + 2D^2 + 2D^3 + D^4)$  PR mode와  $(1 + D + D^2 + D^3)$  PR mode의 사용이 바람직함을 나타내었다. Three-level의 경우  $(1 + 2D + 2D^2$

$+2D^3+D^4$ ) PR mode를 Viterbi detector와 사용하여 가장 좋은 성능을 보였고 trellis diagram의 state 수로 나타낸 구성의 복잡성은 가장 컸다.  $(1+D+D^2+D^3)$  PR mode를 Viterbi detector와 사용한 경우 성능은 약간 떨어졌으나 trellis diagram의 state 수로 나타낸 구성의 복잡성은 줄어들어  $(1+D+D^2+D^3)$  PR mode의 사용을 권장하였다.

본 논문에서 6-ary RLL의 경우  $(1+2D+2D^2+2D^3+D^4)$  PR mode와  $(1+D+D^2+D^3)$  PR mode의 Viterbi detector의 복잡성을 trellis diagram의 state 수를 구하여 비교하였다.  $d=3$ 인 6-ray RLL의 경우  $(1+2D+2D^2+2D^3+D^4)$  PR mode의 Viterbi detector의 state 수는 96개 이고  $(1+D+D^2+D^3)$  PR mode의 Viterbi detector의 state 수는 66개로  $(1+D+D^2+D^3)$  PR mode의 Viterbi detector가 비교적 간단함을 보여주었다.

Decoder에 연속하여 들어오는 codeword를 information word로 정확하게 decode하기 위해서는 현재의 codeword뿐 아니라 이어 오는 다음 codeword도 알아야 한다. 따라서 single channel error는 많아야 두 개의 decoded  $n$ -bit symbol에 영향을 미친다. 이는 decoder가 next-state look-up table과 data look-up table이라는 두 개의 look-up table로 이루어져야 함을 의미한다. Look-up table의 크기는 encoder의 state 수가 커짐에 따라 증가하므로 작은 state 수로 encoder를 구성함은 그만큼 look-up table의 크기도 작아짐을 의미한다. 98.87 %의 효율을 보이는  $R=6/7$ 의 경우 총 state 수는 13개이고 99.95 %로 가장 효율이 좋은  $R=13/15$ 의 경우 총 state 수는 73개로 증가함을 알 수 있다.

#### IV. 결 론

본 논문은 optical recording을 위한 고효율의  $d=3$ 인 6-ary RLL code를 구성하였다.  $R=6/7$ 인 경우 98.87 %의 효율을 보이고 13개의 state 수를 갖는 6-ary (3, 15) code를 설계할 수 있다.  $R=13/15$ 인 경우 Shannon capacity에 근접하는 99.95 %의 높은 효율을 보이고 73개의 state 수를 갖는 6-ary (3, 20) code를 설계할 수 있다. 또한 6-ary RLL code를 효과적으로 검출하기 위한 partial response mode에 관하여 고찰하였다.

#### 참 고 문 헌

- [1] S. W. McLaughlin, "Five Runlength-Limited Codes for M-ary Recording Channels," *IEEE Trans. Magn.*, vol. MAG-33, no. 3, pp.2442-2450, May 1997.
- [2] B. Marcus, P. H. Siegel and J. K. Wolf, "Finite-State Modulation Codes for Data Storage," *IEEE J. on Selected Areas in Communications*, vol. 10, no. 1, pp.5-37, January 1992.
- [3] K.A.S. Immink, J. Kim, S. Suh and S. Ahn, "Efficient dc-free RLL Codes for Optical Recording," *IEEE Trans. Commun.*, vol. 51, no. 3, pp.326-331, March 2003.
- [4] H. Hu, L. Pan, and D. Xu, "3-ary (2, 10) Run-Length Limited Code for Optical Storage Channels," *Electronics Letters*, vol. 41, no. 17, pp.51-52, August 2005.
- [5] S. H. Jiang and F. H. Lo, "PRML Process of Multilevel Run-Length-Limited Modulation Recording on Optical Disc," *IEEE Trans. on Magnetism*, vol. 41, no. 2, pp.1070-1072 February 2005.
- [6] H. Hu, J. Pei, and L. F. Pan, "M-ary Even Nonzero Symbol and Run-Length Limited Code for Multilevel Read Only Memory," *Electronics Letters*, vol. 42, no. 5, pp.294-295, March 2006.

#### 저 자 소 개



지 윤 규(정희원)  
1978년 서울대학교  
전자공학과 학사 졸업.  
1980년 서울대학교  
전자공학과 석사 졸업.  
1984년 The University of Texas  
at Austin 박사 졸업.

<주관심분야 : 광통신, 광신호처리>